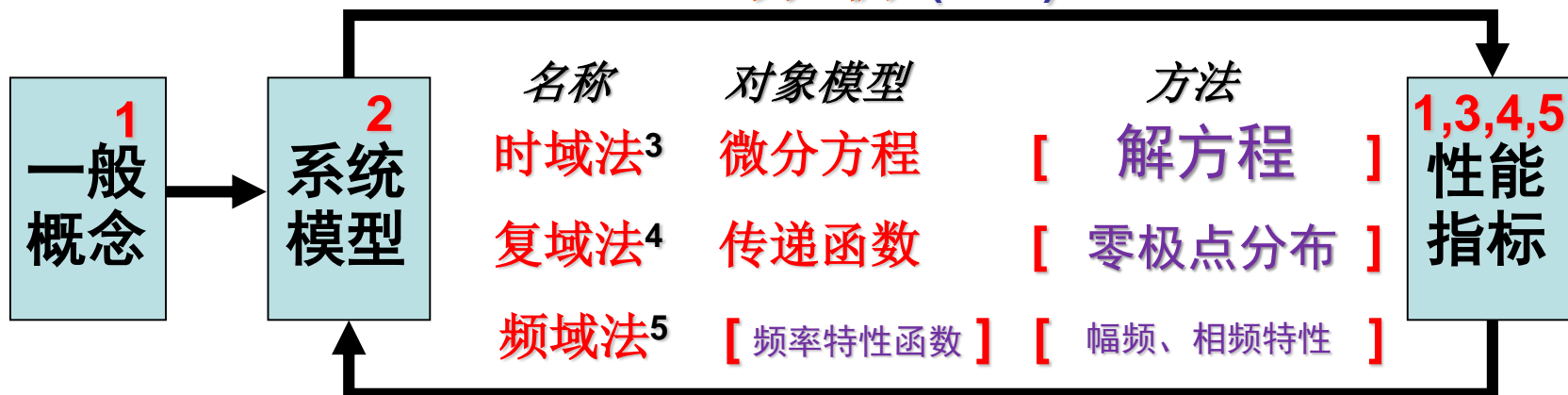


经典控制理论部分体系结构

分析 (3 4 5)



设计 (校正) (5)

微分方程 > 传递函数

$$\mathbf{L}\{f(t)\} = \int_0^{+\infty} f(t)e^{-st} dt$$

微分方程 > 频率特性函数

$$\mathbf{F}\{f(t)\} = \int_{-\infty}^{+\infty} f(t)e^{-j\omega t} dt$$

第五章 频率特性法

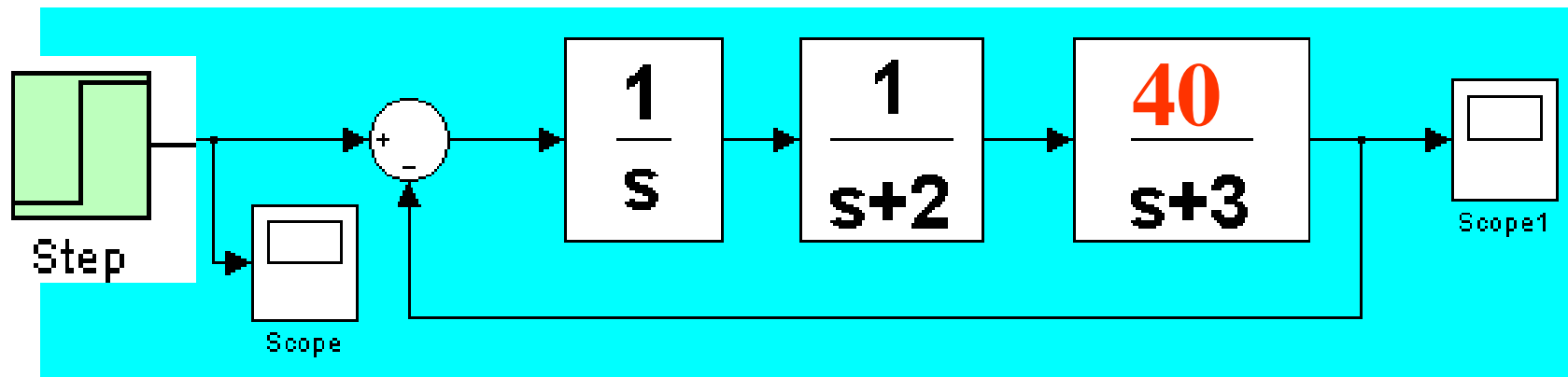
引言

- 频率特性法：用**频率特性（函数）**作为**数学模型**来分析和设计系统的方法。
- 优点：
 - ①具有明确的物理意义；
 - ②计算量很小，采用近似作图法，简单、直观，易于在工程技术中使用；
 - ③可以采用实验的方法求出系统或元件的频率特性。

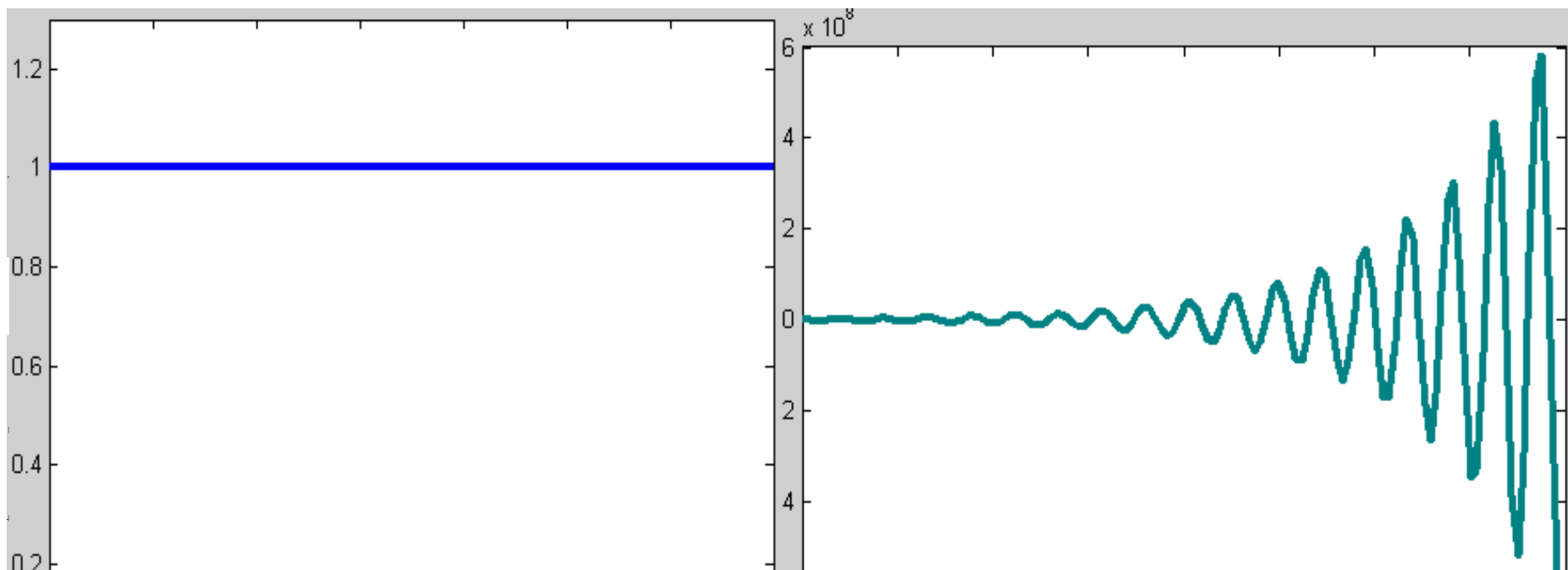
仿真实例:

设系统结构如图，由劳斯判据知系统稳定。

不



给系统输入一个幅值不变频率不断增大的正弦，曲线如下：



5.1 频率特性

- 设输入为正弦信号

$$r(t) = R \sin \omega t \quad R(s) = \frac{R\omega}{s^2 + \omega^2} = \frac{R\omega}{(s + j\omega)(s - j\omega)}$$

$$C(s) = G(s)R(s) = G(s) \frac{R\omega}{(s + j\omega)(s - j\omega)} \quad C(s) = C_s(s) + C_t(s)$$

$$C_s(s) = \frac{A_1}{s + j\omega} + \frac{A_2}{s - j\omega} \quad \Rightarrow \quad c_s(t) = A_1 e^{-j\omega t} + A_2 e^{j\omega t}$$

$$A_1 = G(s) \frac{R\omega}{(s + j\omega)(s - j\omega)} (s + j\omega) \Big|_{s=-j\omega} = -\frac{R}{2j} G(-j\omega)$$

$$A_2 = G(s) \frac{R\omega}{(s + j\omega)(s - j\omega)} (s - j\omega) \Big|_{s=j\omega} = \frac{R}{2j} G(j\omega)$$

$$c_s(t) = R |G(j\omega)| \sin(\omega t + \theta) = C \sin(\omega t + \theta)$$

$|G(j\omega)|$ 为复变量 $G(j\omega)$ 的模,幅值。 $\theta = \angle G(j\omega)$ 是输出信号对输入信号的相位移,等于 $G(j\omega)$ 的相位。

- 频率特性：

幅频特性： $C/R = |G(j\omega)|$
 相频特性： $\theta = \angle G(j\omega)$

$$G(j\omega) = |G(j\omega)|e^{j\theta(\omega)} = |G(j\omega)|[\cos\theta + j\sin\theta] = U(\omega) + jV(\omega)$$

$U(\omega)$: 实频特性

$V(\omega)$: 虚频特性

$$\theta(\omega) = \angle G(j\omega) = \begin{cases} \arctan \frac{V(\omega)}{U(\omega)} & U(\omega) > 0 \\ \pi + \arctan \frac{V(\omega)}{U(\omega)} & U(\omega) < 0 \end{cases} \quad -180^\circ < \theta(\omega) \leq 180^\circ$$

- 负相角称为相位滞后，正相角称为相位超前。
- 正弦输入信号的频率很高时，输出信号的幅值一定很小。
- 实际系统中传递函数分子阶次低于分母阶次

5.2 典型环节的频率特性

- 频率特性 $G(j\omega)$ 是复数，使用很不方便。常用图形表示 $G(j\omega)$ 的幅值和相角与频率的关系。

5.2.1 极坐标图

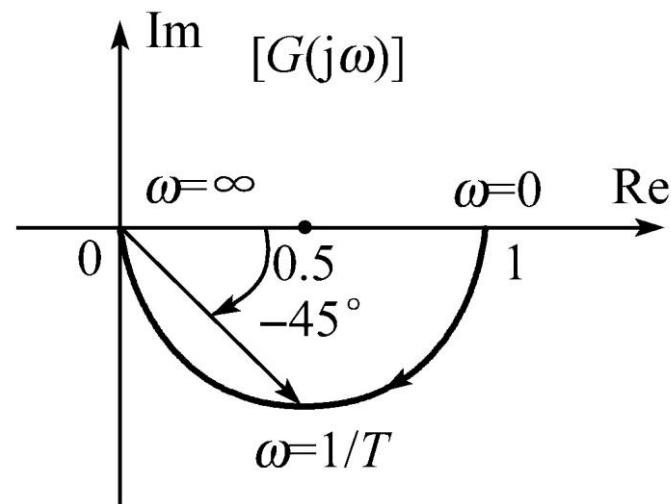
- 极坐标图：在复数的直角坐标或极坐标平面上， ω 由 $0 \rightarrow \infty$ 时， $G(j\omega)$ 的轨迹。又称Nyquist图，奈奎斯特图，幅相特性图。

1. 惯性环节 $G(s) = \frac{1}{Ts + 1}$

$$\Rightarrow G(j\omega) = \frac{1}{jT\omega + 1} \quad \angle G(j\omega) = -\arctan T\omega$$

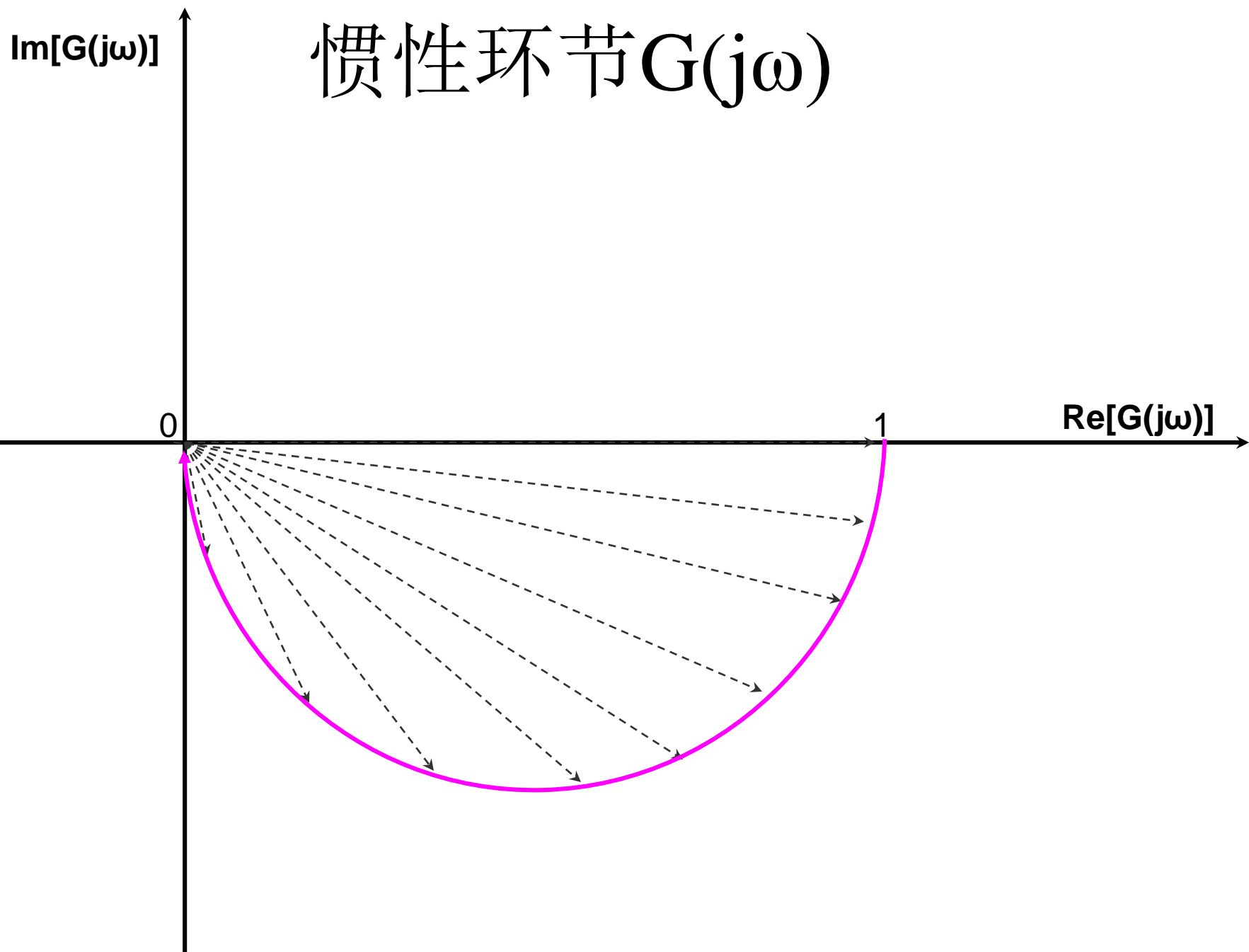
$$|G(j\omega)| = \frac{1}{\sqrt{T^2\omega^2 + 1}} \quad U(\omega) = \frac{1}{T^2\omega^2 + 1} \quad V(\omega) = -\frac{T\omega}{T^2\omega^2 + 1}$$

ω	$\angle G(j\omega)$	$ G(j\omega) $	U	V
0	0°	1	1	0
$1/T$	-45°	$1/\sqrt{2}$	$1/2$	$-1/2$
∞	-90°	0	0	0



$$\left(U - \frac{1}{2}\right)^2 + V^2 = \left(\frac{1}{2}\right)^2 \quad \text{极坐标图是半圆。}$$

惯性环节 $G(j\omega)$

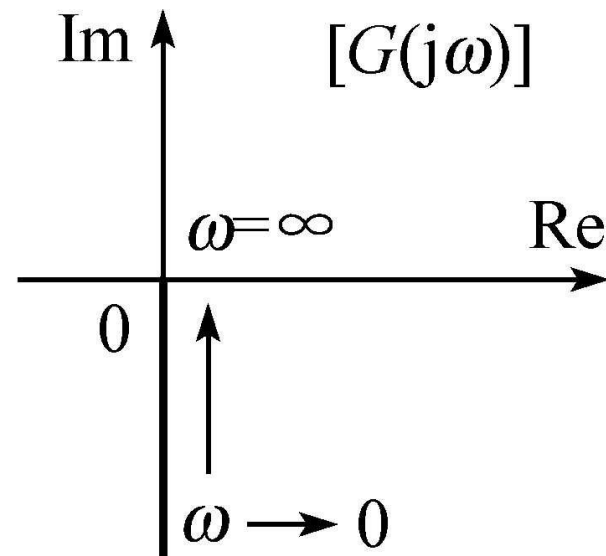


- 2.积分环节

$$G(s) = \frac{1}{s}$$

$$G(j\omega) = \frac{1}{j\omega} = -j\frac{1}{\omega} = \frac{1}{\omega} e^{-j\frac{\pi}{2}}$$

ω	$\angle G(j\omega)$	$ G(j\omega) $	$U(\omega)$	$V(\omega)$
0	-90°	∞	0	$-\infty$
1	-90°	1	0	-1
∞	-90°	0	0	0



- 积分环节频率特性的极坐标图是虚轴

- 3.纯微分环节和一阶微分环节

- 纯微分环节

$$G(s) = s$$

$$G(j\omega) = j\omega = \omega e^{j\frac{\pi}{2}}$$

ω	$\angle G(j\omega)$	$ G(j\omega) $	$U(\omega)$	$V(\omega)$
0	90°	0	0	0
1	90°	1	0	1
∞	90°	∞	0	∞

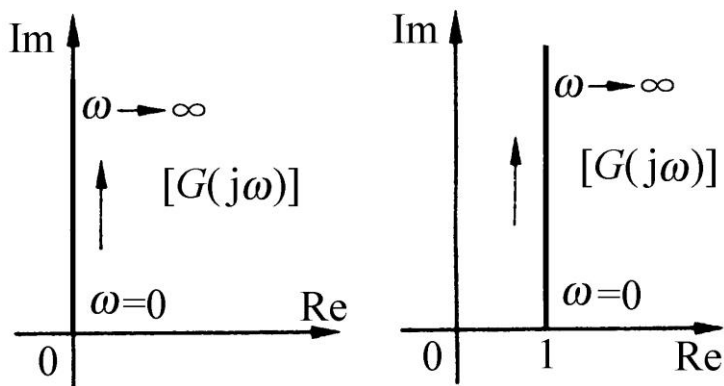
- 一阶微分环节

$$G(s) = \tau s + 1$$

$$G(j\omega) = j\tau\omega + 1$$

$$= \sqrt{\tau^2\omega^2 + 1} e^{j\arctan\tau\omega}$$

ω	$\angle G(j\omega)$	$ G(j\omega) $	$U(\omega)$	$V(\omega)$
0	0°	1	1	0
$1/\tau$	45°	$\sqrt{2}$	1	1
∞	90°	∞	1	∞



(a)

(b)

• 4.振荡环节

$$G(s) = \frac{1}{T^2 s^2 + 2\zeta Ts + 1} = \frac{\omega_n^2}{s^2 + 2\zeta \omega_n s + \omega_n^2} \quad (0 \leq \zeta < 1) ;$$

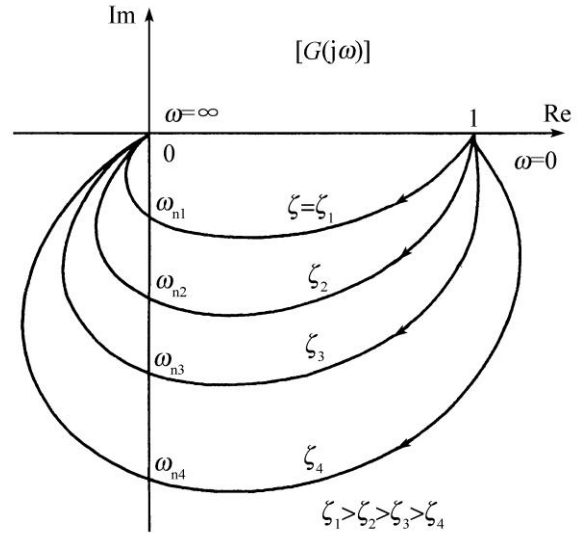
$$G(j\omega) = \frac{1}{(1-T^2\omega^2) + j2\zeta T\omega}$$

$$\angle G(j\omega) = \begin{cases} -\arctan \frac{2\zeta T\omega}{1-T^2\omega^2} & \omega \leq \frac{1}{T} \\ -180^\circ - \arctan \frac{2\zeta T\omega}{1-T^2\omega^2} & \omega > \frac{1}{T} \end{cases}$$

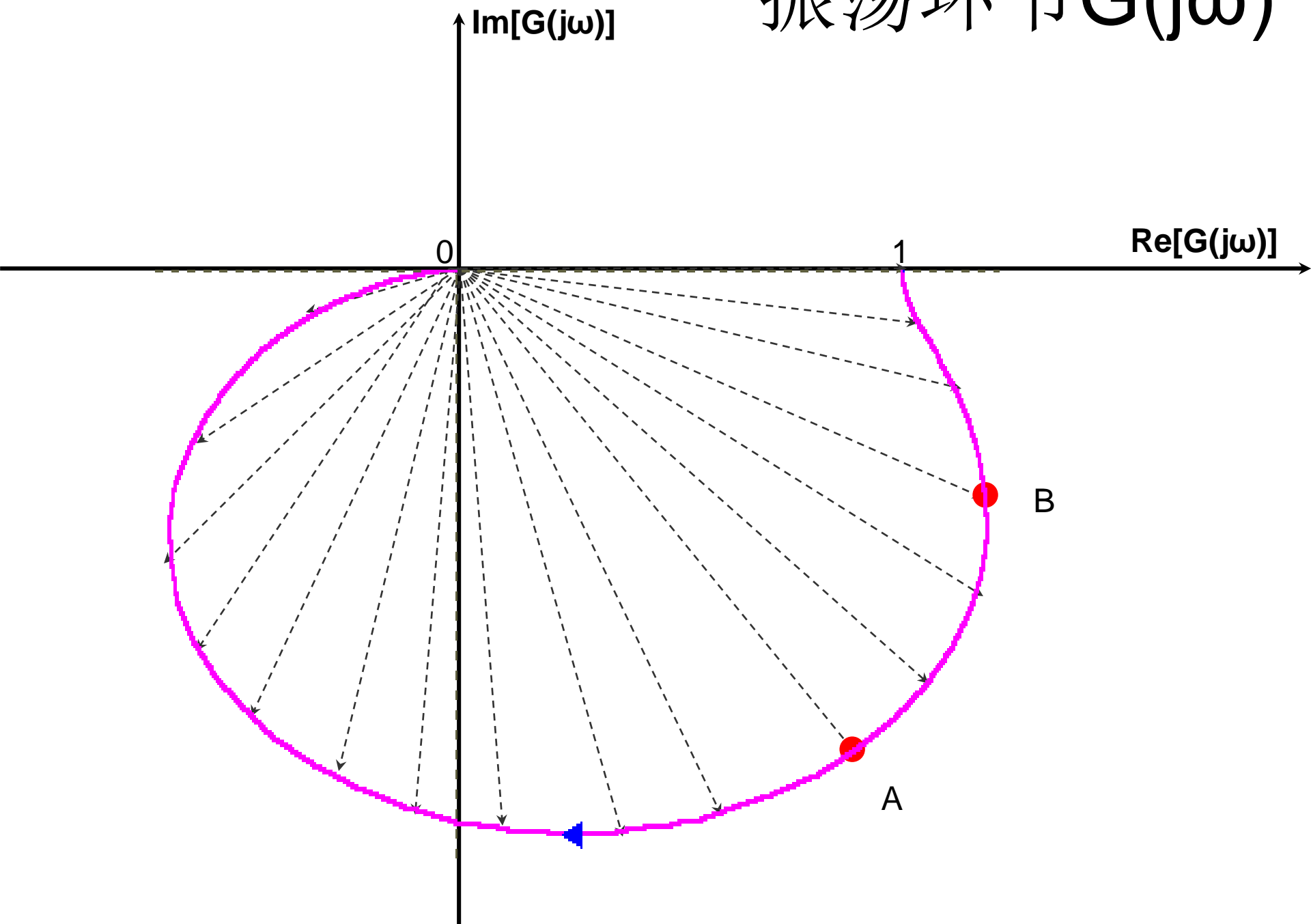
$$|G(j\omega)| = \frac{1}{\sqrt{(1-T^2\omega^2)^2 + (2\zeta T\omega)^2}}$$

$$U(\omega) = \frac{1-T^2\omega^2}{(1-T^2\omega^2)^2 + (2\zeta T\omega)^2} ; \quad V(\omega) = \frac{-2\zeta T\omega}{(1-T^2\omega^2)^2 + (2\zeta T\omega)^2}$$

ω	$\angle G(j\omega)$	$ G(j\omega) $	$U(\omega)$	$V(\omega)$
0	0°	1	1	0
$1/T$	-90°	$1/2 \zeta$	0	$-1/2 \zeta$
∞	-180°	0	0	0



振荡环节 $G(j\omega)$



- 5. 延迟环节

$$G(s) = e^{-\tau s}$$

频率特性是：

$$G(j\omega) = e^{-j\tau\omega}$$

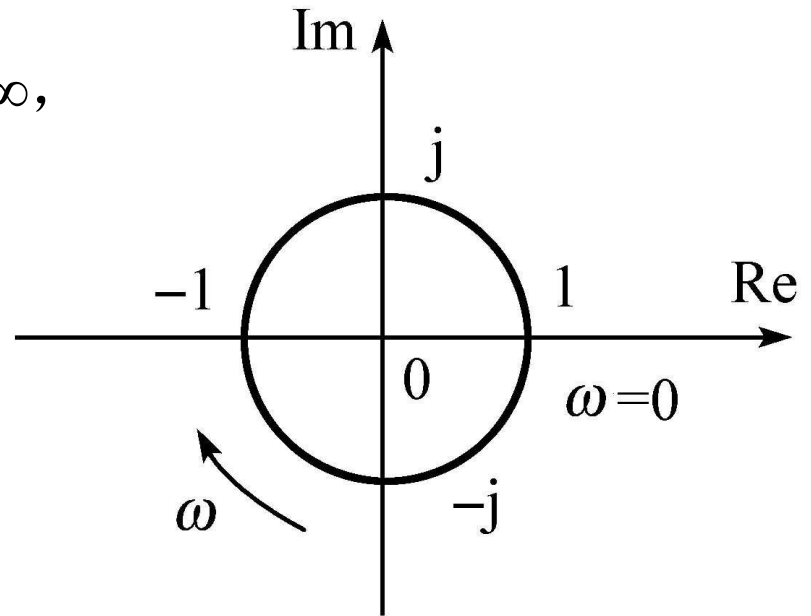
$$\angle G(j\omega) = \tau\omega \text{ rad} = -57.3^\circ \tau\omega$$

$$|G(j\omega)| = 1$$

当 ω 由 $0 \rightarrow \infty$ 时， $\angle G(j\omega)$ 由 $0 \rightarrow -\infty$ ，

而 $|G(j\omega)| = 1$ 。

极坐标图是单位圆



- 例5-2-1开环传递函数为

$$G(s) = \frac{K}{s(Ts + 1)}$$

绘制开环频率特性极坐标图

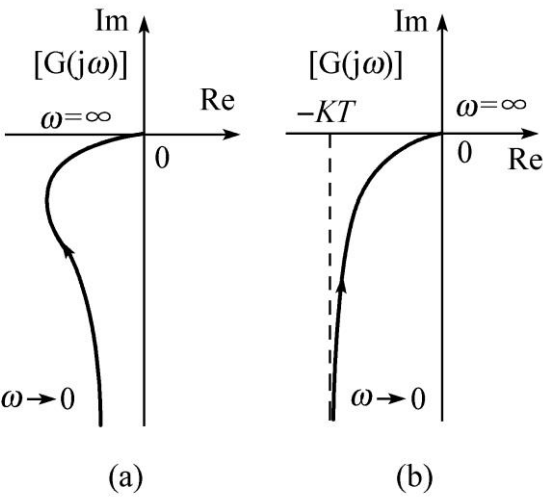
解

$$G(j\omega) = \frac{K}{j\omega(jT\omega + 1)} = \frac{-KT}{T^2\omega^2 + 1} - j\frac{K}{T^2\omega^2 + 1}$$

$$\angle G(j\omega) = -90^\circ - \arctan T\omega, |G(j\omega)| = \frac{K}{\omega\sqrt{T^2\omega^2 + 1}}$$

ω	$\angle G(j\omega)$	$ G(j\omega) $	$U(\omega)$	$V(\omega)$
0	-90°	∞	$-KT$	$-\infty$
∞	-180°	0	0	0

$\angle G(j\omega)$ 与K无关, $|G(j\omega)|$ 与K成正比。



- 例 5-2-2 $G(s) = \frac{1}{(T_1s + 1)(T_2s + 1)(T_3s + 1)}$, 绘极坐标简图。

解 $\angle G(j\omega) = -\arctan T_1\omega - \arctan T_2\omega - \arctan T_3\omega$

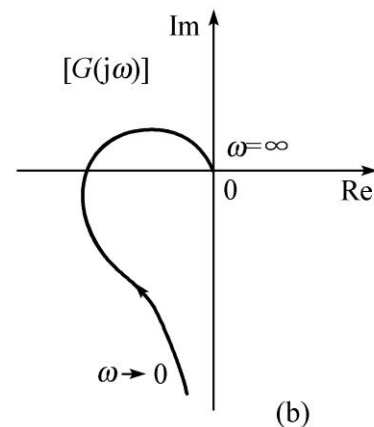
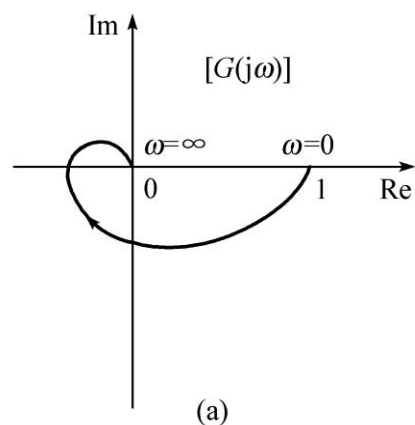
ω	$\angle G(j\omega)$	$ G(j\omega) $
0	0	1
∞	-270°	0

- 例 5-2-3 $G(s) = \frac{\omega_n^2}{s(s^2 + 2\zeta\omega_n s + \omega_n^2)}$, 绘极坐标简图。

解 设 $G_1(s) = \frac{1}{s}$, $G_2(s) = \frac{\omega_n^2}{s^2 + 2\zeta\omega_n s + \omega_n^2}$

$$G(s) = G_1(s)G_2(s)$$

ω	$\angle G_1$	$\angle G_2$	$\angle G$	$ G $
0	-90°	0°	-90°	∞
∞	-90°	-180°	-270°	0



5.2.2 对数频率特性图

- 伯德(Bode)图。容易绘制，分析直观，应用最广。包括幅频特性图和相频特性图。横轴坐标实际是 $\lg\omega$ ，但标注的是角频率 $\omega(\text{rad/s})$ ，对数分度，可展现很宽的频率范围。
- Bode图绘制在半对数坐标纸上。【为何？】
- $\omega \rightarrow 2\omega$ 的频带宽度称2倍频程， $\omega \rightarrow 10\omega$ 的频带宽度称10倍频程或10倍频，记dec。 ω 为0.1、1、10、100、1000的各点间横轴间的距离相等。 $\lg 0 = -\infty$ ，横轴上画不出 $\omega = 0$ 的点。
- 幅频特性图纵坐标表示 $20\lg |G(j\omega)|$ ，单位dB（分贝），线性分度。0dB表示 $|G(j\omega)| = 1$ ，无 $|G(j\omega)| = 0$ 点。
- 传递函数可写成基本环节传递函数相乘的形式，幅频特性由相应的基本环节幅频特性的代数和得到。
- 相频特性图纵坐标 $\angle |G(j\omega)|$ ，单位是($^\circ$)或rad,线性分度。
【是否也有上述“代数和”的性质？】

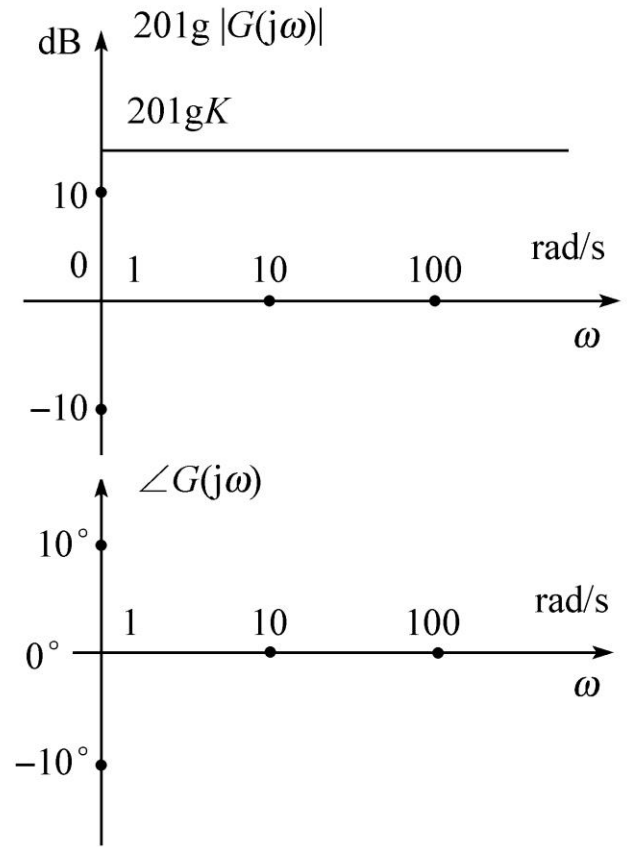
- 1.放大（比例）环节

$$G(s)=K, \quad G(j\omega)=K$$

$$20\lg |G(j\omega)| = 20\lg K$$

$$\angle G(j\omega)=0^\circ$$

- 对数幅频特性是平行于横轴的直线，相距 $20\lg K$ dB。 $K>1$,直线位于横轴上方； $K<1$,直线位于横轴下方。
- 对数相频特性是与横轴相重合的直线。
- K 的数值变化时，幅频特性图中的直线 $20\lg K$ 向上或向下平移，相频特性不变。



• 2.积分环节

$$G(s) = \frac{1}{s} \quad G(j\omega) = \frac{1}{j\omega} = -j\frac{1}{\omega} = \frac{1}{\omega} e^{-j\frac{\pi}{2}}$$

幅频特性 $20\lg|G(j\omega)| = 20\lg\frac{1}{\omega} = -20\lg\omega$

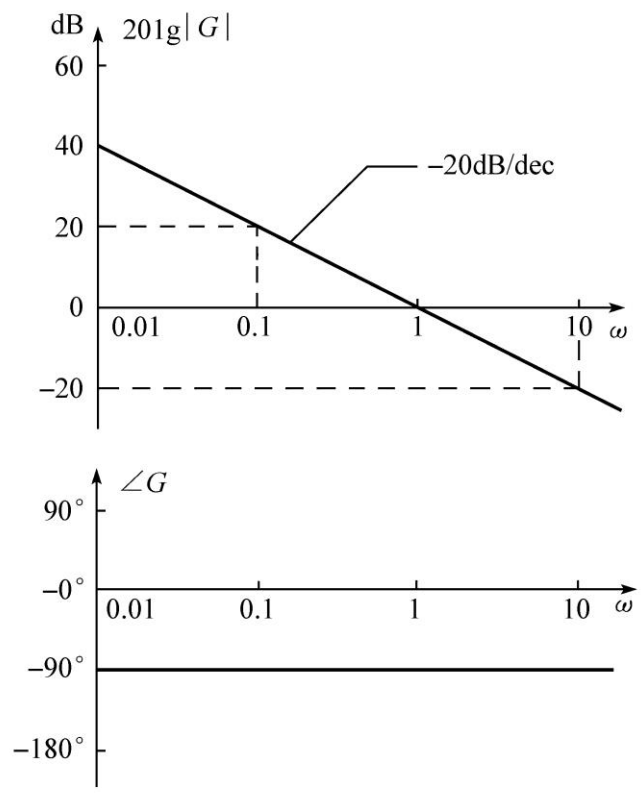
$$y = 20\lg|G(j\omega)|, \quad x = \lg\omega \Rightarrow y = -20x$$

幅频特性是直线，斜率是 -20dB/dec 。

频率增加到10倍，幅值增加：

$$20\lg\frac{1}{10\omega} - 20\lg\frac{1}{\omega} = -20\lg10\omega + 20\lg\omega = -20\text{dB}$$

相频特性 $\angle G(j\omega) = -90^\circ$



$$G(s) = \frac{1}{s^n} \quad 20\lg|G(j\omega)| = 20\lg \frac{1}{\omega^n} = -20n\lg\omega$$

斜率是 $-20n$ dB/dec。

$\angle G(j\omega) = -n \cdot 90^\circ$ 过 $-n \cdot 90^\circ$ ，平行于横轴的直线。

$$G(s) = \frac{K}{s^n} \quad G(j\omega) = \frac{K}{(j\omega)^n}$$

$$20\lg|G(j\omega)| = 20\lg \frac{K}{\omega^n} = 20\lg K - 20n\lg\omega$$

斜率为 $-20n$ dB/dec 的直线，在 $\omega = \sqrt[n]{K}$ 处穿越 0dB 线。

• 3. 惯性环节

$$G(s) = \frac{1}{Ts + 1} \quad G(j\omega) = \frac{1}{jT\omega + 1}$$

$$|G(j\omega)| = \frac{1}{\sqrt{T^2\omega^2 + 1}}$$

$$20\lg|G(j\omega)| = 20\lg \frac{1}{\sqrt{T^2\omega^2 + 1}} = -20\lg \sqrt{T^2\omega^2 + 1}$$

幅频特性渐近线 $\omega \ll 1/T$ 时, 略去 $\omega T \Rightarrow$

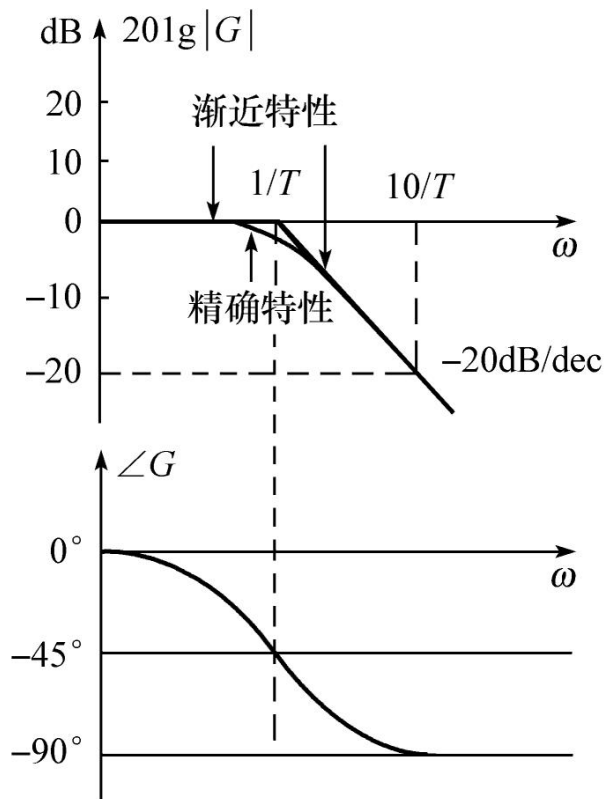
$$20\lg|G(j\omega)| \approx -20\lg 1 = 0\text{ dB}$$

是一条与横轴重合的直线。

$\omega \gg 1/T$ 时, 略去 1 $\Rightarrow 20\lg|G(j\omega)| \approx -20\lg T\omega = -20\lg T - 20\lg \omega$

是斜率为 -20 dB/dec 的直线, 在 $\omega = 1/T$ 处穿越 0 dB 线。

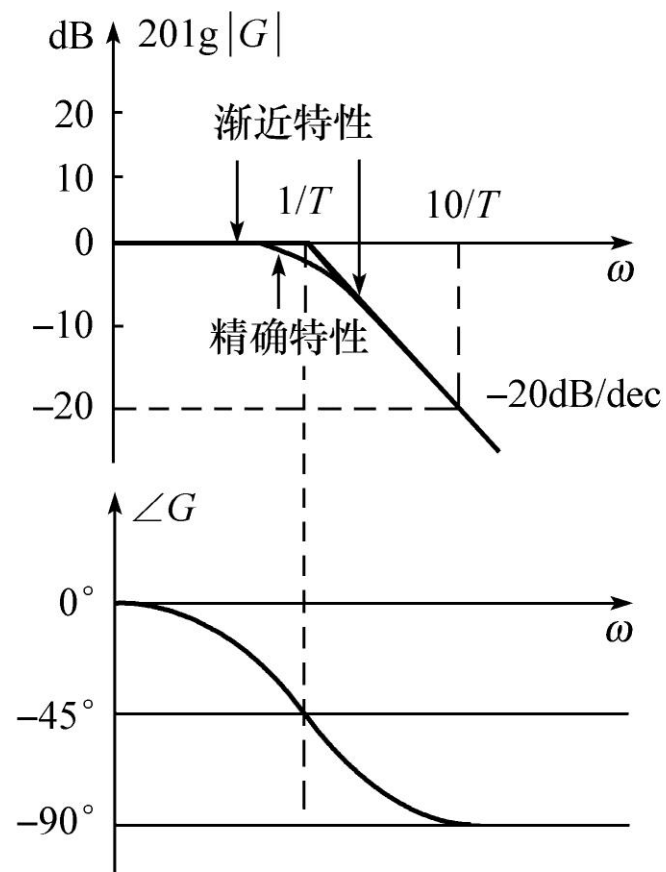
误差 $= -20\lg \sqrt{T^2\omega^2 + 1} + 20\lg T\omega$ $\omega = 1/T$ 时误差最大, 为 -3 dB 。



$$G(j\omega) = \frac{1}{jT\omega + 1}$$

相频特性 $\angle G(j\omega) = -\arctan T\omega$

ω	0	$1/T$	∞
$\angle G(j\omega)$	0°	-45°	-90°



• 4. 纯微分环节

$$G(s) = s$$

$$G(j\omega) = j\omega = \omega e^{j\frac{\pi}{2}}$$

幅频特性 $20\lg|G(j\omega)| = 20\lg \omega$

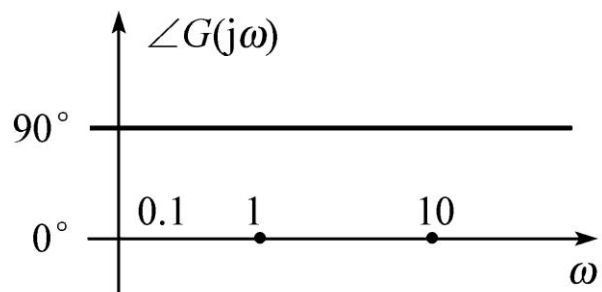
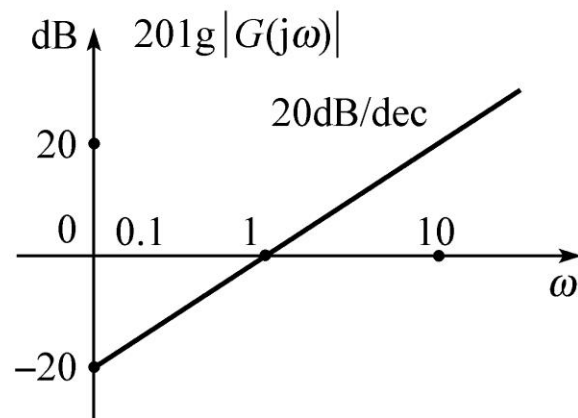
幅频特性是直线，斜率为20 dB/dec，

通过横轴上 $\omega = 1$ 的点。

$$\begin{aligned} 20\lg 10\omega - 20\lg \omega &= 20\lg 10 + 20\lg \omega - 20\lg \omega \\ &= 20\text{dB} \end{aligned}$$

相频特性 $\angle G(j\omega) = 90^\circ$

相频特性是通过纵轴上 90° 点且与横轴平行的直线。



• 5.一阶微分环节

$$G(s) = \tau s + 1$$

$$G(j\omega) = j\tau\omega + 1 = \sqrt{\tau^2\omega^2 + 1}e^{j\arctan\tau\omega}$$

对数幅频特性

$$20\lg|G(j\omega)| = 20\lg\sqrt{\tau^2\omega^2 + 1}$$

幅频特性渐近线

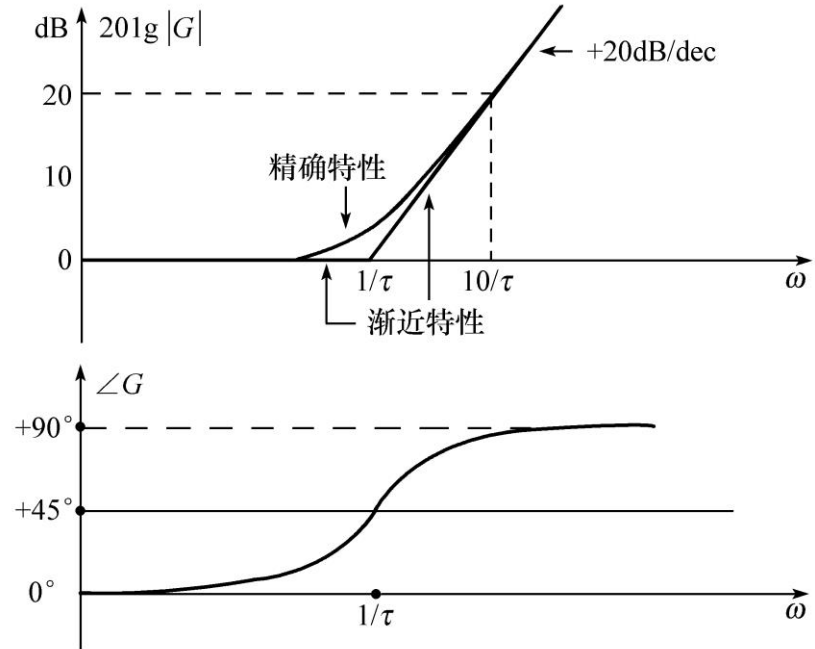
$\omega \ll 1/\tau$ 时略去 $\tau\omega$, 得

$$20\lg|G(j\omega)| = 20\lg 1 = 0 \text{ dB}$$

$\omega \gg 1/\tau$ 时略去 1 $\Rightarrow 20\lg|G(j\omega)| = 20\lg\sqrt{\tau^2\omega^2} = 20\lg\tau\omega = 20\lg\tau + 20\lg\omega$
是直线, 过横轴上 $\omega = 1/\tau$ 点, 斜率是 20dB/dec。

对数相频特性 $\angle G(j\omega) = \arctan\tau\omega$ 3个关键点是:

$\omega = 1/\tau, \angle G(j\omega) = 45^\circ; \omega \rightarrow 0, \angle G(j\omega) \rightarrow 0^\circ; \omega \rightarrow \infty, \angle G(j\omega) \rightarrow 90^\circ.$



• 6. 振荡环节

$$G(s) = \frac{1}{T^2 s^2 + 2\zeta Ts + 1} = \frac{\omega_n^2}{s^2 + 2\zeta\omega_n s + \omega_n^2} \quad (0 \leq \zeta < 1)$$

$$G(j\omega) = \frac{1}{(1 - T^2\omega^2) + j2\zeta T\omega}$$

$$|G(j\omega)| = \frac{1}{\sqrt{(1 - T^2\omega^2)^2 + (2\zeta T\omega)^2}}$$

对数幅频特性为

$$20\lg |G(j\omega)| = -20\lg \sqrt{(1 - T^2\omega^2)^2 + (2\zeta T\omega)^2}$$

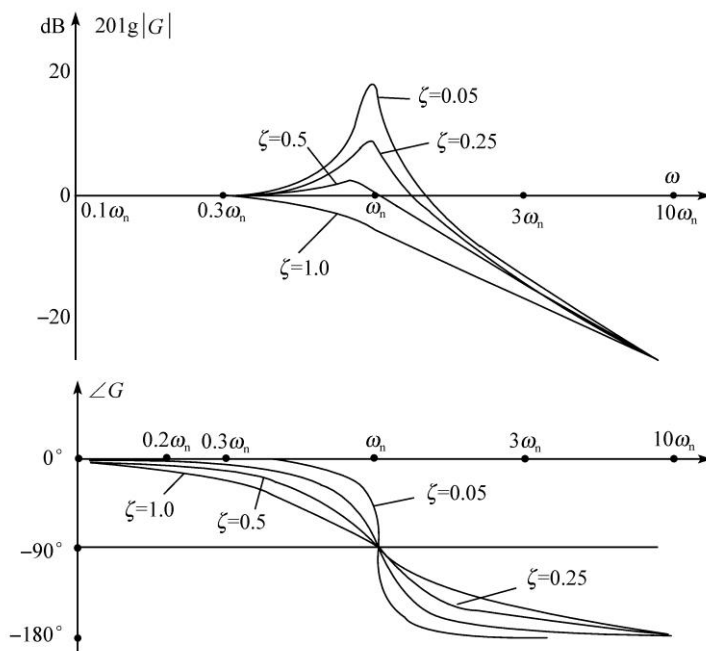
幅频特性渐近线 $\omega \ll 1/T$ 时, 略去 $T\omega$ 得

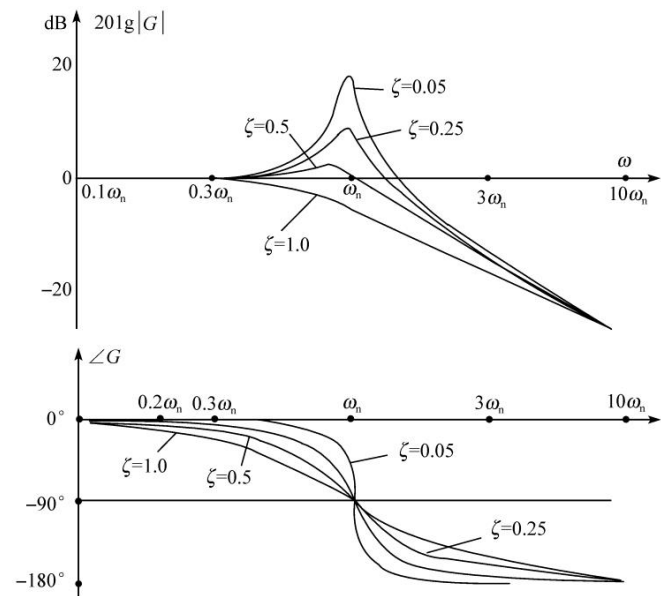
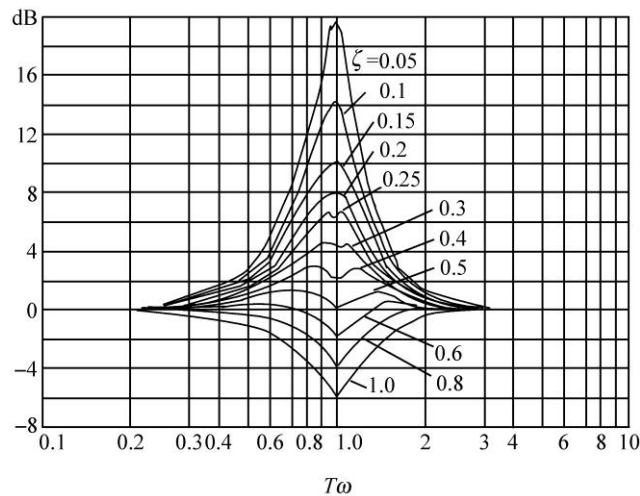
$$20\lg |G(j\omega)| = -20\lg 1 = 0 \text{ dB}, \text{ 直线。}$$

$\omega \gg 1/T$ 时, 略去 1 和 $2\zeta T\omega$ 得

$$20\lg |G(j\omega)| = -20\lg T^2\omega^2 = -40\lg T\omega = -40\lg T - 40\lg \omega$$

直线, 斜率为 -40 dB/dec , 过横轴上 $\omega = \omega_n = 1/T$ 点。





误差与 ω 及 ζ 有关。

$$\text{对数相频特性 } \angle G(j\omega) = \begin{cases} -\arctan \frac{2\zeta T\omega}{1-T^2\omega^2} & (\omega \leq \frac{1}{T}) \\ -180^\circ - \arctan \frac{2\zeta T\omega}{1-T^2\omega^2} & (\omega > \frac{1}{T}) \end{cases}$$

$\omega \rightarrow 0$ 时, $\angle G(j\omega) \rightarrow 0^\circ$; $\omega = 1/T = \omega_n$ 时, $\angle G(j\omega) = -90^\circ$;

$\omega \rightarrow \infty$, $\angle G(j\omega) \rightarrow -180^\circ$ 。

• 7.二阶微分环节

$$G(s) = \tau^2 s^2 + 2\zeta \tau s + 1 \quad (\zeta < 1)$$

$$G(j\omega) = 1 - \tau^2 \omega^2 + j2\zeta \tau \omega$$

对数幅频特性和相频特性为：

$$20\lg|G(j\omega)| = 20\lg \sqrt{(1 - \tau^2 \omega^2)^2 + (2\zeta \tau \omega)^2}$$

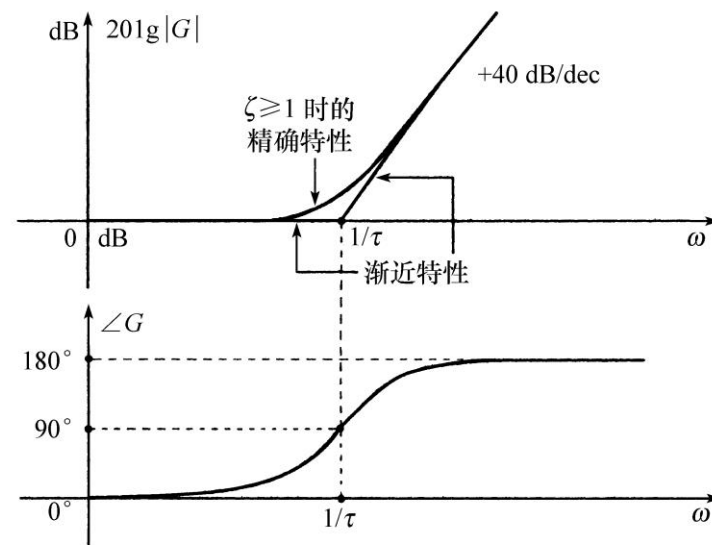
$$\angle G(j\omega) = \begin{cases} \arctan \frac{2\zeta \tau \omega}{1 - \tau^2 \omega^2} & \omega \leq \frac{1}{\tau} \\ 180^\circ + \arctan \frac{2\zeta \tau \omega}{1 - \tau^2 \omega^2} & \omega > \frac{1}{\tau} \end{cases}$$

二阶微分环节渐近线方程是

$$20\lg|G(j\omega)| = 0\text{dB} \quad (\omega \ll 1/\tau)$$

$$20\lg|G(j\omega)| = 40\lg \tau \omega = 40\lg \tau + 40\lg \omega \quad (\omega \gg 1/\tau)$$

两条直线交于横轴上 $\omega = 1/\tau$ 处， $\omega = 1/\tau$ 称为转折频率。



• 8. 延迟环节

$$G(s) = e^{-\tau s}$$

$$G(j\omega) = e^{-j\tau\omega}$$

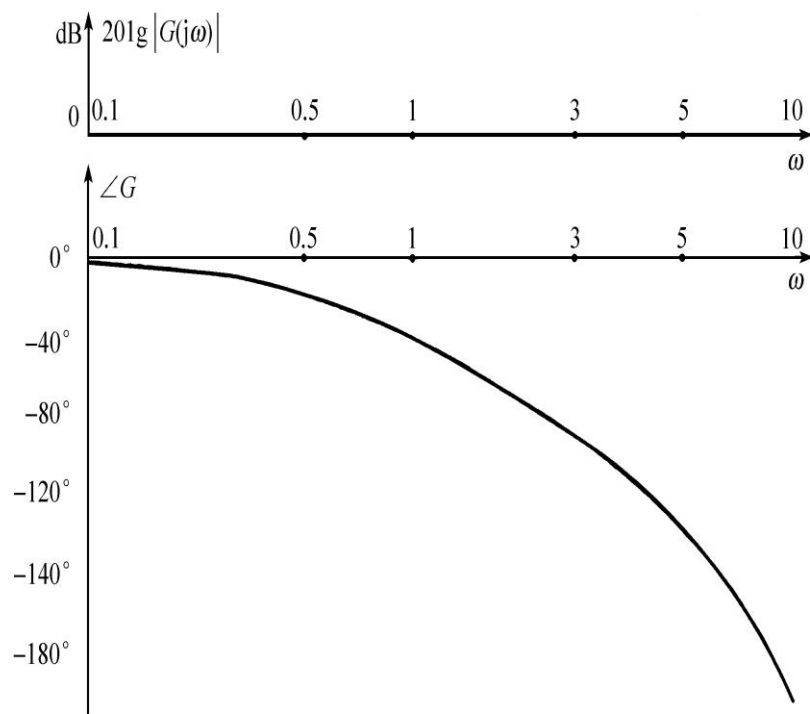
$$|G(j\omega)| = 1$$

对数幅频特性为

$$20\lg|G(j\omega)| = 20\lg 1 = 0\text{ dB}$$

相频特性为

$$\angle G(j\omega) = -\tau\omega \text{ rad} = -57.3^\circ\tau\omega$$



- 9.开环频率特性的绘制

$$G(s) = G_1(s)G_2(s)\cdots G_n(s)$$

$$G(j\omega) = G_1(j\omega)G_2(j\omega)\cdots G_n(j\omega)$$

开环对数幅频特性和相频特性分别为

$$20\lg|G(j\omega)| = 20\lg|G_1(j\omega)| + 20\lg|G_2(j\omega)| + \cdots + 20\lg|G_n(j\omega)|$$

$$\angle G(j\omega) = \angle G_1(j\omega) + \angle G_2(j\omega) + \cdots + \angle G_n(j\omega)$$

- 直线相加仍是直线，和的斜率为各斜率之和。

- 步骤：1) 写成基本环节相乘的形式。

- 2) 从低频到高频，计算转折频率与斜率。

- 3) 绘最低频段， $20\lg|G| = 20\lg\frac{K}{\omega^n} = 20\lg K - 20n\lg\omega$ 。

- 4) 从低频到高频绘折线渐近线，在转折频率处加上基本环节的斜率。

- 5) 必要时在转折频率处修正曲线。

- 例5-2-4 开环传递函数为

$$G(s) = \frac{7.5 \left(\frac{s}{3} + 1 \right)}{s \left(\frac{s}{2} + 1 \right) \left(\frac{s^2}{2} + \frac{s}{2} + 1 \right)}$$

绘制系统的

开环对数频率特性曲线。

解 放大和积分、振荡、惯性、一阶微分环节。

1) 放大和积分环节, $-20\text{dB}/\text{dec}$;

振荡环节, $\omega_1 = \sqrt{2}\text{rad/s}$, $-40\text{dB}/\text{dec}$;

惯性环节, $\omega_2 = 2\text{rad/s}$, $-20\text{dB}/\text{dec}$;

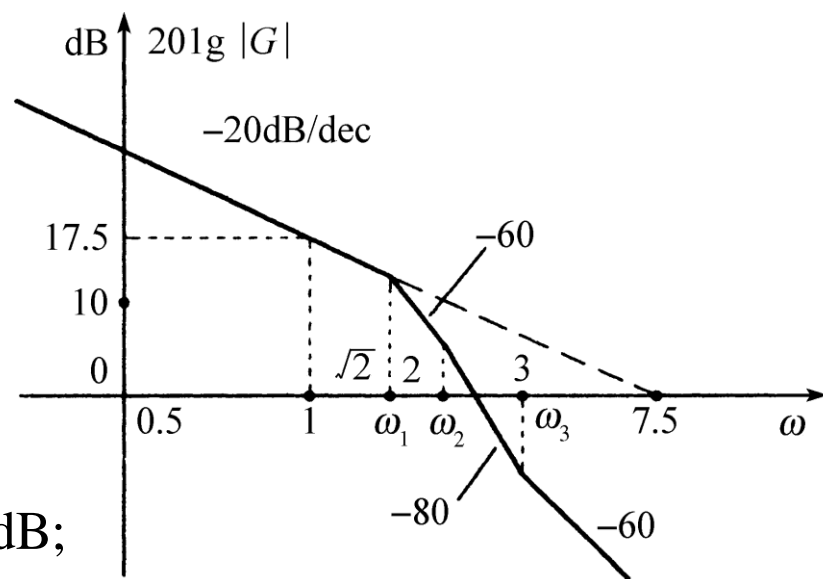
一阶微分环节, $\omega_3 = 3\text{rad/s}$, $20\text{dB}/\text{dec}$

2) 当 $\omega < \sqrt{2}$ 时, $G(s) = \frac{7.5}{s}$,

直线斜率 $-20\text{dB}/\text{dec}$ 。

当 $\omega = 1$ 时, 直线纵坐标为 $20\lg 7.5 = 17.5\text{dB}$;

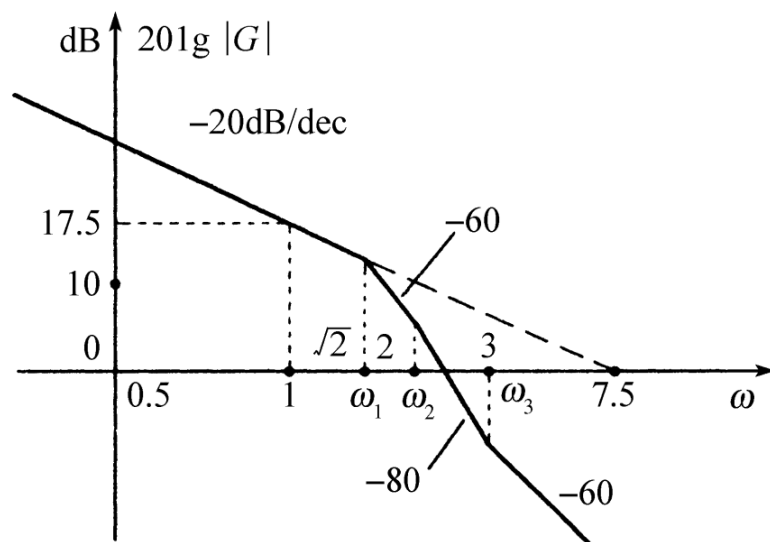
$\omega = 7.5$ 时直线穿过 0dB 线。



3) $\omega_1 = \sqrt{2}$ 处, 直线斜率为 $-20\text{dB/dec} - 40\text{dB/dec} = -60\text{dB/dec}$

$\omega_2 = 2$ 处, 斜率: $-60 - 20 = -80\text{dB/dec}$ 。

$\omega_3 = 3$ 处, 斜率: $-80 + 20 = -60\text{dB/dec}$ 。



$$G(s) = \frac{7.5 \left(\frac{s}{3} + 1 \right)}{s \left(\frac{s}{2} + 1 \right) \left(\frac{s^2}{2} + \frac{s}{2} + 1 \right)}$$

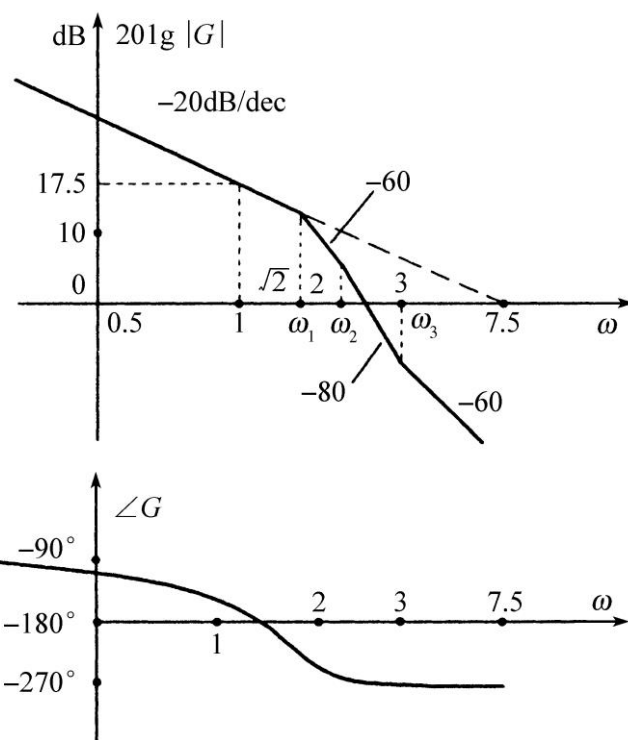
4)相频特性。

$$\angle G(j\omega) = \arctan \frac{\omega}{3} - 90^\circ - \arctan \frac{\omega}{2} + \angle G_1(j\omega);$$

$$\angle G_1(j\omega) = \begin{cases} -\arctan \frac{\omega}{2 - \omega^2} & \omega \leq \sqrt{2} \\ -180^\circ - \arctan \frac{\omega}{2 - \omega^2} & \omega > \sqrt{2} \end{cases}$$

$\angle G_1(j\omega)$ 典型值： $\omega \rightarrow 0, \angle G_1(j\omega) \rightarrow 0^\circ$; $\omega = \sqrt{2}, \angle G_1(j\omega) = -90^\circ$;
 $\omega \rightarrow \infty, \angle G_1(j\omega) = -180^\circ$ 。

$\omega \rightarrow 0 \Rightarrow \angle G \rightarrow -90^\circ$; $\omega \rightarrow \infty \Rightarrow \angle G \rightarrow -270^\circ$ 。



5.2.3 最小相位系统

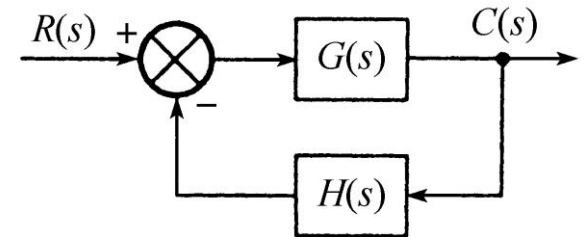
- 最小相位系统：所有传递函数的极点和零点的实部全部小于或等于零。（闭环系统，看开环传递函数的极点和零点）
- 非最小相位系统：传递函数中具有正实部的极点或零点，或有延迟环节。
- 幅频特性相同的环节之间存在不同的相频特性，最小相位环节的相位移最小，最容易控制。
- 设系统（或环节）传递函数分母的阶次是 n ，分子的阶次是 m ，串联积分环节的个数是 v （包含在 n 之内）。最小相位系统，当 $\omega \rightarrow \infty$ 时幅频特性斜率为 $-20(n-m)$ dB/dec，相位等于 $-(n-m)90^\circ$ ；当 $\omega \rightarrow 0$ 时相位等于 $-v90^\circ$ 。
- 最小相位系统，对数幅频特性和相频特性不是相互独立的，存在严格的确定关系。

5.3 Nyquist稳定判据

5.3.1 完整的频率特性极坐标图

- 判据特点：利用开环频率特性判定闭环系统的稳定性。
- 系统开环传递函数为

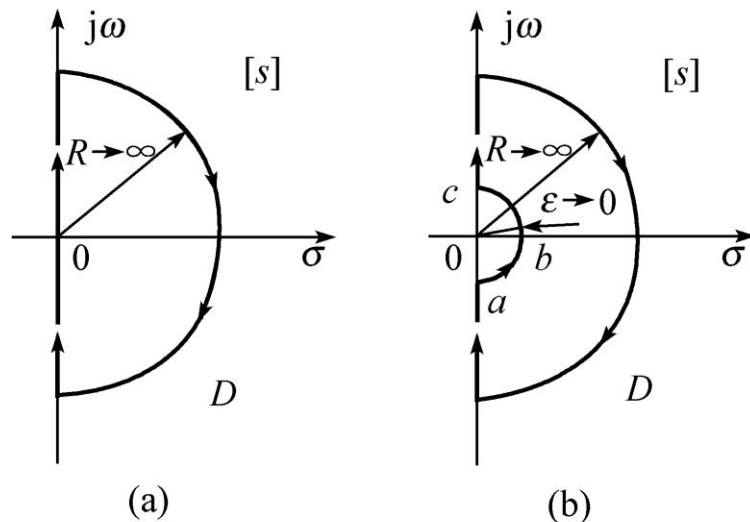
$$G(s)H(s) = \frac{KN(s)}{s^v D(s)} \quad N(0) = D(0) = 1, K > 0$$



- $s^v D(s) = 0$ 的根称开环极点。
- 开环稳定：开环极点实部不是正数。

- **Nyquist围线：** 封闭曲线。
 $v=0$ ，右半平面。
 $v \neq 0$ ，绕过原点的右半平面。
- 完整的频率特性极坐标图：
 s 沿Nyquist围线顺时针转一周， $G(s)H(s)$ 平面对应的封闭曲线。
- 频率特性新定义： $G(j\omega)H(j\omega)$, ω 可正可负。
- $G(j\omega)H(j\omega)$ 和 $G(-j\omega)H(-j\omega)$ 是共轭复数。 $G(j\omega)H(j\omega)$ 图形关于实轴对称。
- 实际物理系统， $G(s)H(s)$ 分母次数高于分子。故有：

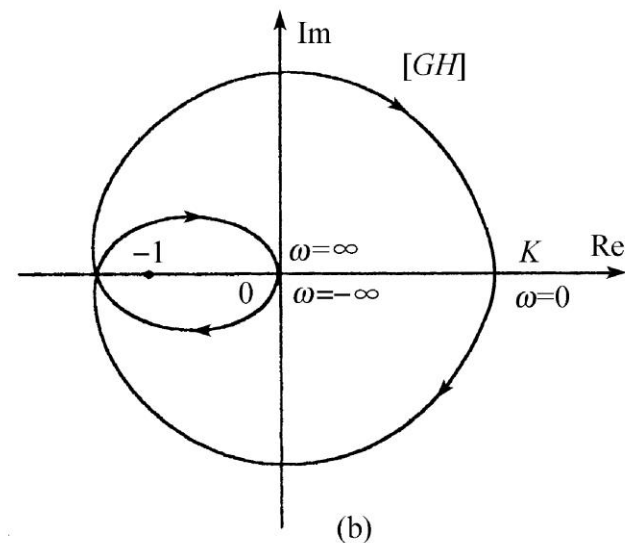
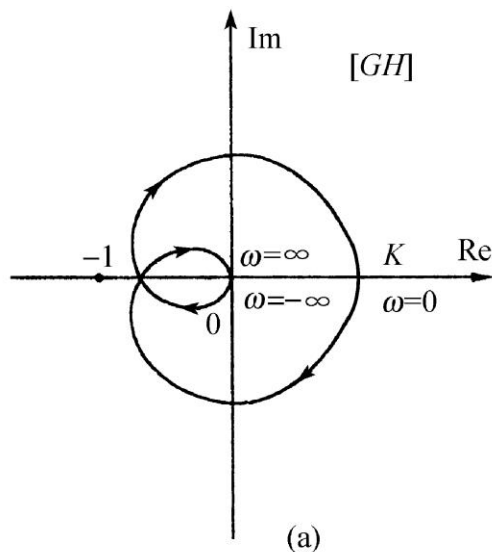
$$s \rightarrow \infty \Rightarrow G(s)H(s) \rightarrow 0$$



- 开环极坐标图。

- $\nu=0$

$$G(0)H(0)=K$$

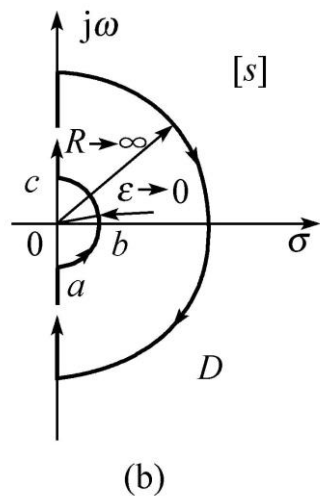


- $\nu \neq 0$

$s \rightarrow 0$ 设 $s = \varepsilon e^{j\theta}$,

$\varepsilon > 0, \varepsilon \rightarrow 0,$

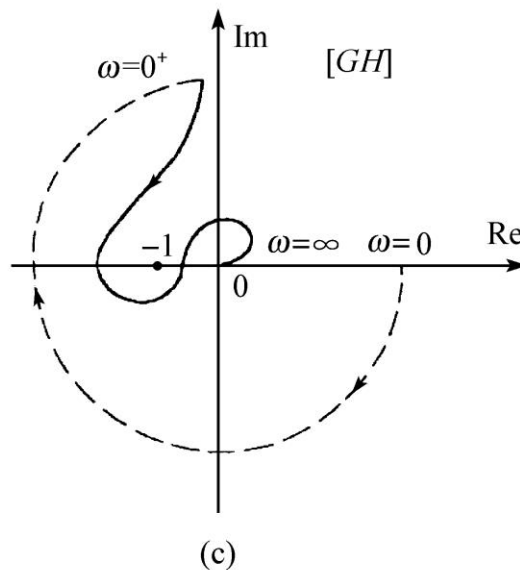
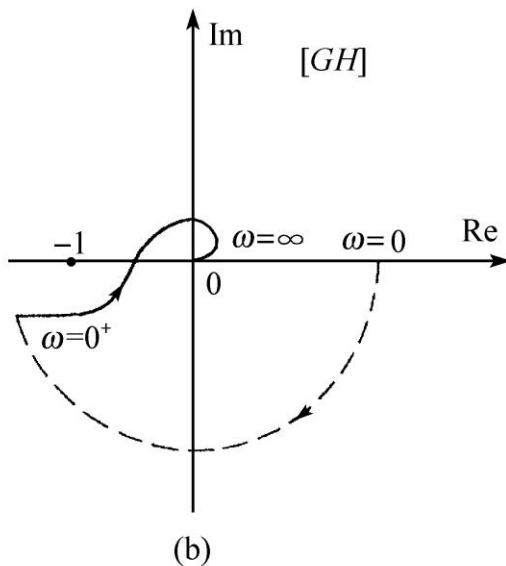
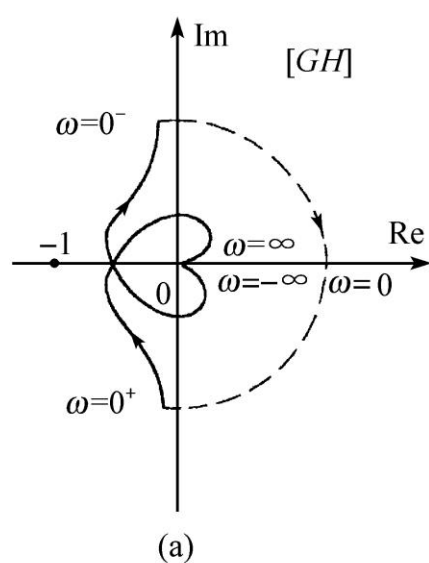
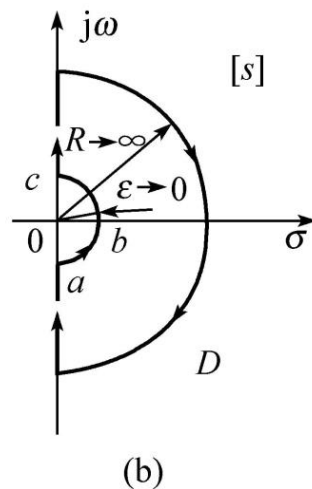
$$-\pi/2 < \theta < \pi/2. \quad N(s) = D(s) = 1 \Rightarrow G(s)H(s) = \frac{K}{s^\nu} = \frac{K}{\varepsilon^\nu e^{j\nu\theta}} = \frac{K}{\varepsilon^\nu} e^{-j\nu\theta}$$



s	θ	$ G(s)H(s) $	$\angle G(s)H(s) = -\nu\theta$
$j0^-$	$-\pi/2$	∞	$\nu\pi/2$
ε	0	∞	0
$j0^+$	$\pi/2$	∞	$-\nu\pi/2$

- 开环极坐标图, $v \neq 0$

s	θ	$ G(s)H(s) $	$\angle G(s)H(s) = -v\theta$
$j0^-$	$-\pi/2$	∞	$v\pi/2$
ε	0	∞	0
$j0^+$	$\pi/2$	∞	$-v\pi/2$



$\omega: 0 \rightarrow 0^+ \Rightarrow G(s)H(s)$: 正实轴无穷远处顺时针转 $v\pi/2$ rad 或 $v90^\circ$ 。

5.3.2 Nyquist 稳定判据

- 预备知识

辐（幅）角定理（ Cauchy's argument principle ）。

- **Nyquist 稳定判据** 闭环系统的开环传递函数 $G(s)H(s)$ 有 p 个正实部极点，闭环系统稳定的充要条件是：当 s 按顺时针方向沿Nyquist围线变化1周时（或， $\omega: -\infty \rightarrow 0^- \rightarrow 0 \rightarrow 0^+ \rightarrow \infty$ ）， $G(s)H(s)$ 曲线（开环极坐标图）应按逆时针方向包围 $(-1, j0)$ 点 p 周。
- **Nyquist 稳定判据“推论”**：
 - 1) 开环极坐标图顺时针方向包围 $(-1, j0)$ 点，闭环不稳。
 - 2) 开环稳定，闭环的稳定的充要条件是，开环极坐标图不包围 $(-1, j0)$ 点。

- 例 设开环稳定。

图a不包围，闭环稳定。

图b顺时针方向包围(-1,j0)点2周，闭环不稳。

$\omega: -\infty \rightarrow 0^- \rightarrow 0 \rightarrow 0^+ \rightarrow \infty$

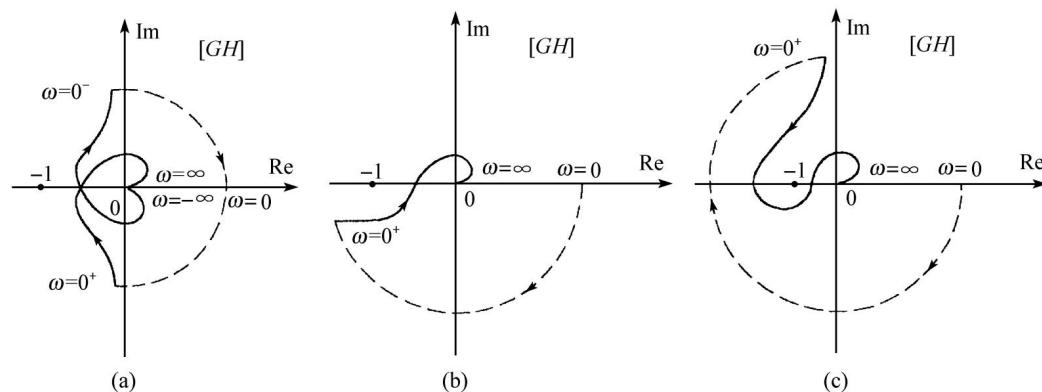
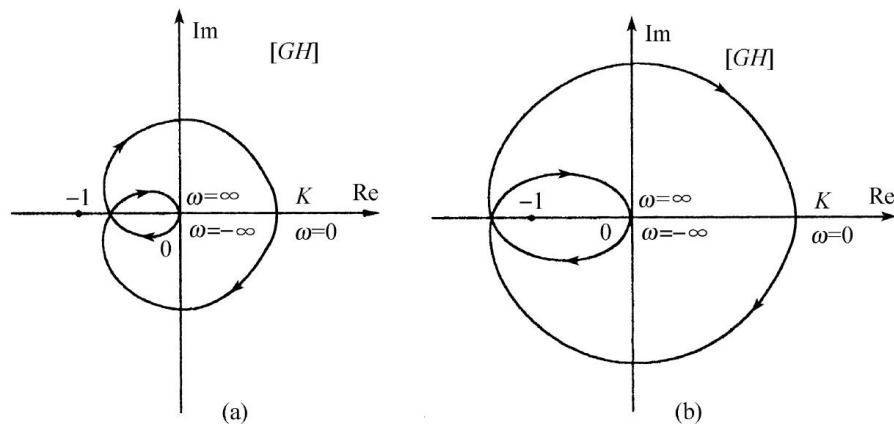
$\omega: 0 \rightarrow 0^+ \rightarrow \infty$

- 包围次数是前者一半。
- 闭环系统的稳定的充要条件是：

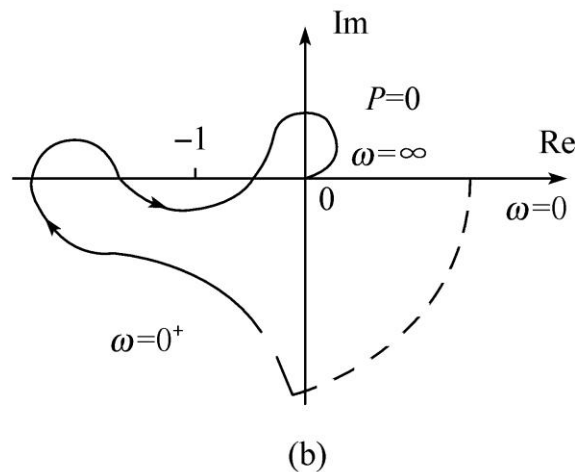
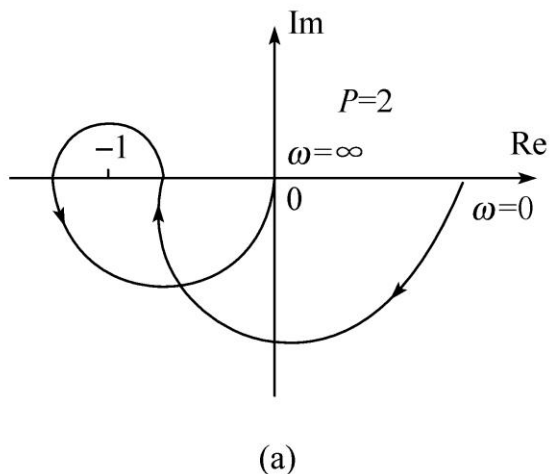
$\omega: 0 \rightarrow 0^+ \rightarrow \infty$

开环极坐标图逆时针方向包围(-1,j0)点p/2周。

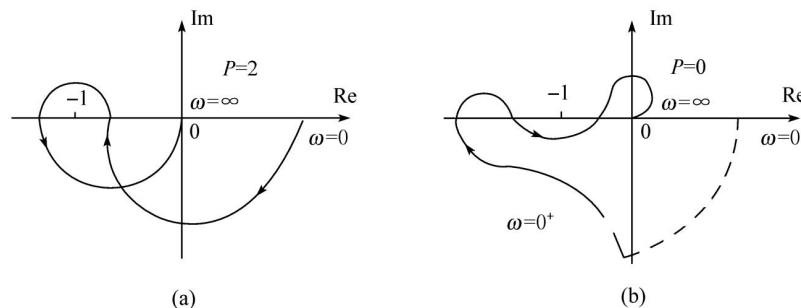
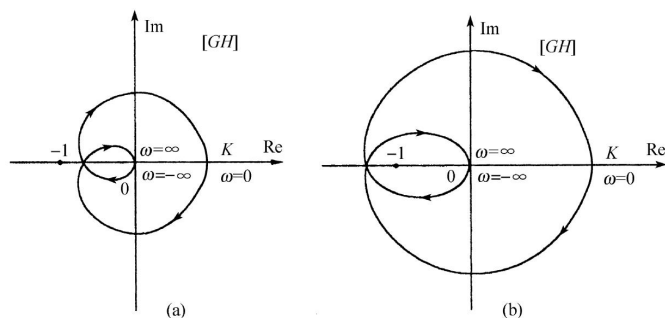
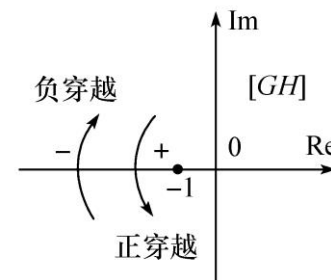
- 包围周数：从(-1,j0)引出的向量绕该点转动的总圈数。
- 例 图a,b,c不包围，若开环稳定，则闭环稳定。



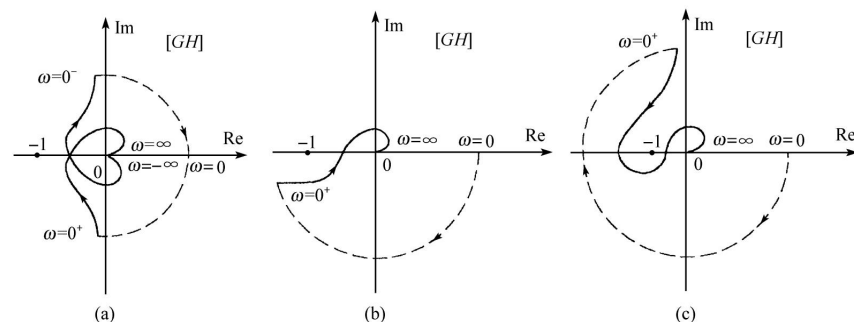
- 例5-3-1 由开环极坐标图判定闭环系统的稳定性。
- 解 图a逆时针方向包围(-1,j0)点1周，图b不包围，故闭环系统稳定。



- “穿越”与简捷的稳定判据
- 正穿越：逆时针方向（从上向下）穿过负实轴，相角增加。
- 负穿越：顺时针方向（从下向上）穿过负实轴，相角减小。

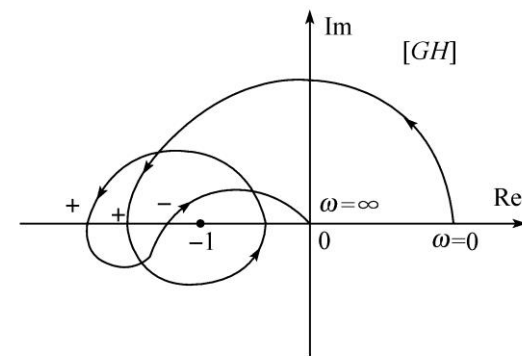


- 开环极坐标图逆时针方向包围 $(-1, j0)$ 点的周数等于在 $(-1, j0)$ 左方正、负穿越次数之差。



- 稳定判据 闭环系统稳定的充要条件是：
当 ω 由 $0 \rightarrow \infty$ ，开环极坐标图在 $(-1, j0)$ 左方正、负穿越负实轴次数之差为 $p/2$ 。

例 5-3-2 系统有两个正实部开环极点，判定闭环稳定性。



解 $p=2$ ，当 ω 由 $0 \rightarrow \infty$ ，开环极坐标图在点 $(-1, j0)$ 左方正、负穿越负实轴次数之差为 $2-1=1=p/2$ ，闭环稳定。

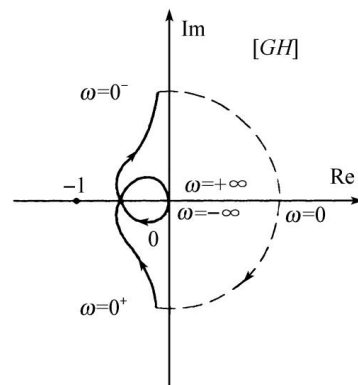
- 例5-3-3 判定闭环稳定性。

$$G(s)H(s) = \frac{K}{s(T_1s + 1)(T_2s + 1)}$$

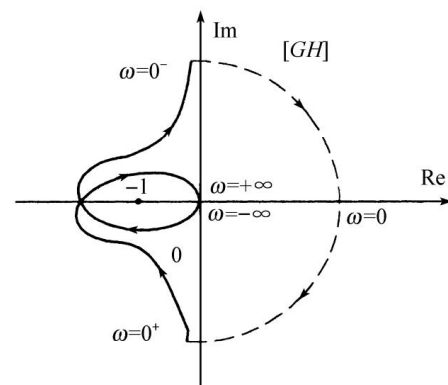
解 $p=0$

图a无穿越，稳定。

图b 1次负穿越，不稳定。



(a) K 值较小



(b) K 值较大

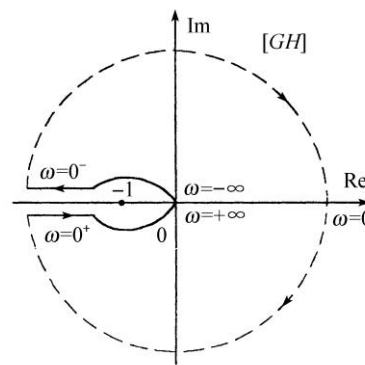
- 例5-3-4 判定闭环稳定性。

$$G(s)H(s) = \frac{K(\tau s + 1)}{s^2(Ts + 1)}$$

解 $p=0$

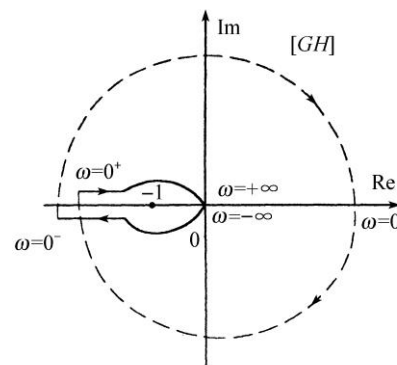
图a无穿越，稳定。

图b 1次负穿越，不稳定。



$T < \tau$

(a)



$T > \tau$

(b)

5.3.3 用开环伯德图判定闭环稳定性 (考纲以外)

- 负实轴 —— 对数相频特性 -180° 线。
- 单位圆以外区域 —— 对数幅频特性 0 dB 以上区域。
- $(-1, j0)$ 左方穿越负实轴 —— Bode图, 对数幅频特性 0 dB 线以上区域, 相频特性曲线穿越 -180° 线。
- 稳定判据 闭环系统稳定的充要条件是:
在开环幅频特性大于 0 dB 的所有频段内, 相频特性曲线对 -180° 线正、负穿越次数之差为 $p/2$ 。
- 注意 开环系统有积分环节时, 相频特性应增补 ω 由 $0 \rightarrow 0^+$ 部分。 $\omega \rightarrow 0$, 在正实轴上。

5.3.3 用开环伯德图判定闭环稳定性 (考纲以外)

• 例 5-3-5

判定闭环稳定性。

• 解 a, 没穿越 -180°

线, 稳定

b, 正、负穿越次数

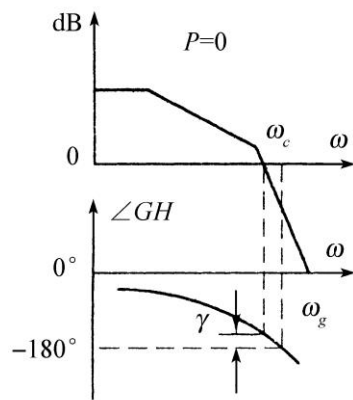
之差 $=1-1=0$, 稳定

c, 正、负穿越次数之差 $=1-2=-1$, 不稳定

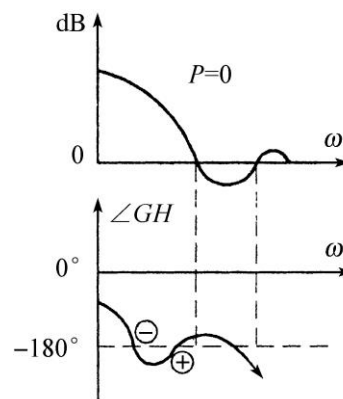
• 例 5-3-6 对最小相位系统, 判定闭环稳定性。

解 $\omega \rightarrow 0$, $\angle GH \rightarrow 0^\circ$

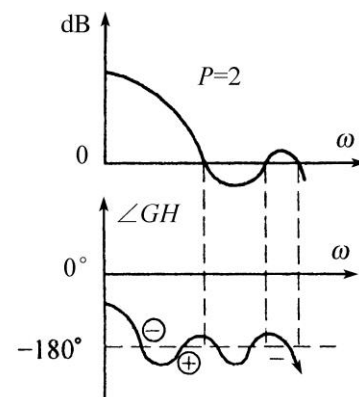
1 次负穿越, 不稳定。



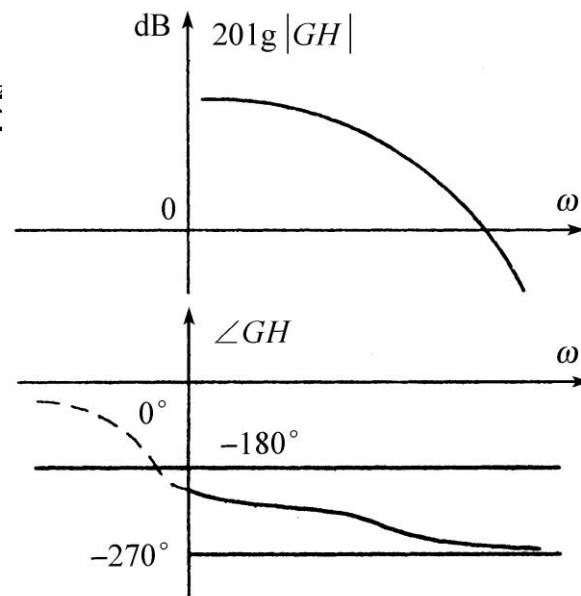
(a)



(b)

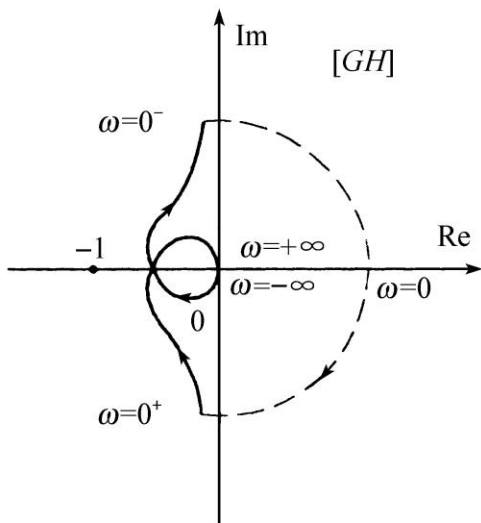


(c)

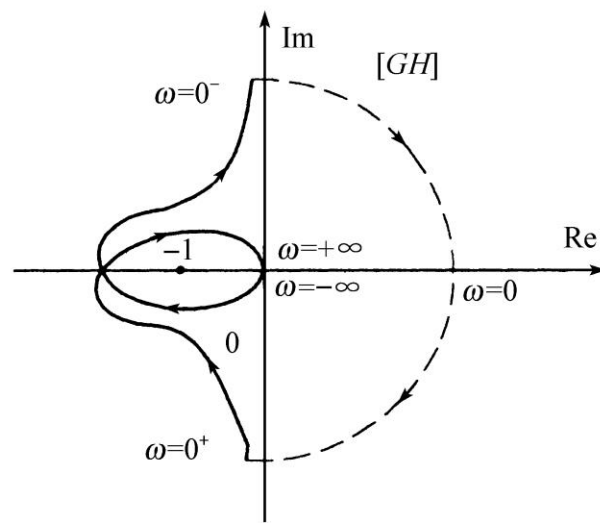


5.4 控制系统的相对稳定性

- 参数变化，系统可能由稳定变为不稳定。
- 要求系统具有足够的稳定裕度。动态性能与稳定裕度也有关。
- 稳定裕度——相对稳定性。
- 开环极坐标图
离 $(-1, j0)$ 越远，
稳定裕度越大。



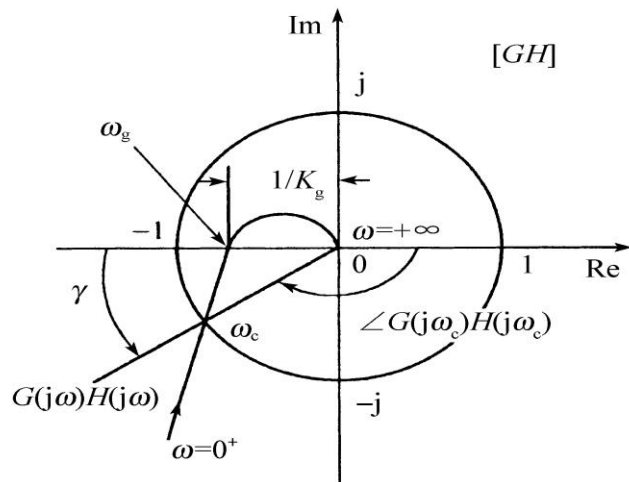
(a) K 值较小



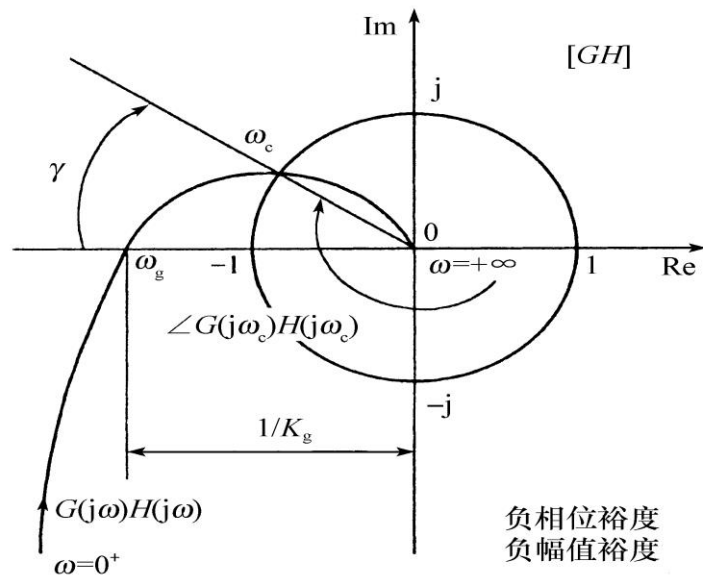
(b) K 值较大

5.4.1 相位裕度

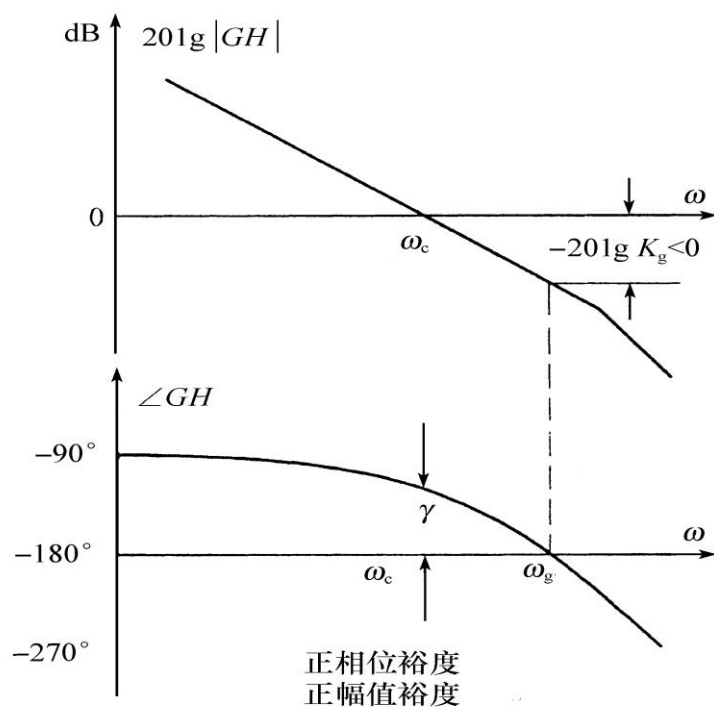
- 幅值穿越（剪切）频率 ω_c ：开环幅值为1的频率。
- 开环极坐标图与单位圆的交点，开环Bode图与0dB线的交点。
- 相位裕度 γ ：
$$\gamma = \angle G(j\omega_c)H(j\omega_c) - (-180^\circ) = \angle G(j\omega_c)H(j\omega_c) + 180^\circ$$
- 表示开环极坐标图与单位圆的交点与 $(-1, j0)$ 的远近程度。
- 开环稳定的系统，相位裕度为正时闭环稳定，相位裕度为负时闭环不稳定。
- 通常要求 $\gamma > 40^\circ$ 。



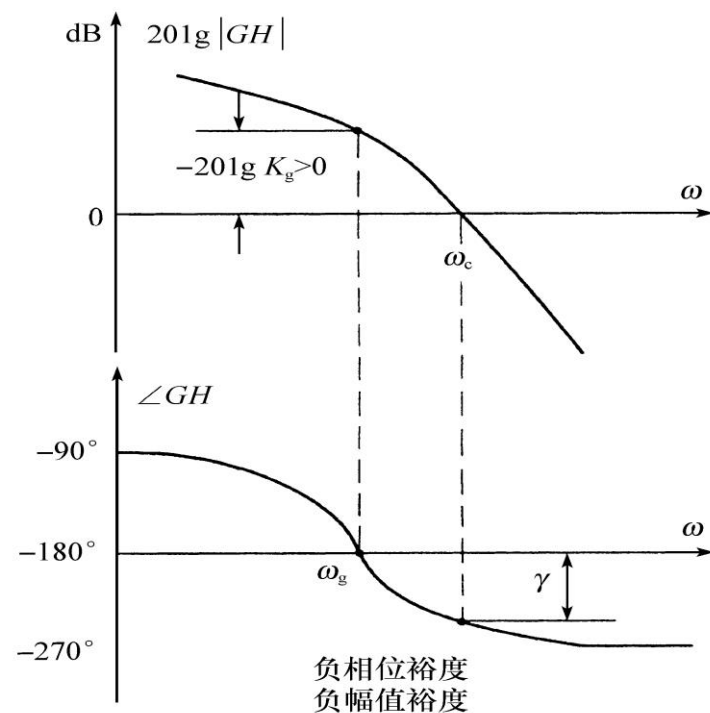
(a)



(b)



(c)



(d)

5.4.2 幅值裕度

- 相位穿越频率 ω_g : 开环频率特性相位为 -180° 的频率。
- 幅值裕度 极坐标图
$$K_g = \frac{1}{|G(j\omega_g)H(j\omega_g)|}$$
- Bode 图
$$20\lg K_g = -20\lg|G(j\omega)H(j\omega)| \text{ dB}$$

$20\lg K_g > 0, K_g > 1, |G(j\omega)H(j\omega)| < 1$, 幅值裕度为正。
- 幅值裕度表示开环极坐标图与负实轴的交点与点 $(-1, j0)$ 的远近程度。
- 开环稳定的系统, 相位裕度为正时闭环稳定, 相位裕度为负时闭环不稳定。
- 通常要求 $K_g = 2-3.16, 20\lg K_g = 6-10 \text{ dB}$

5.5 闭环频率特性图

5.5.1 闭环频率特性图

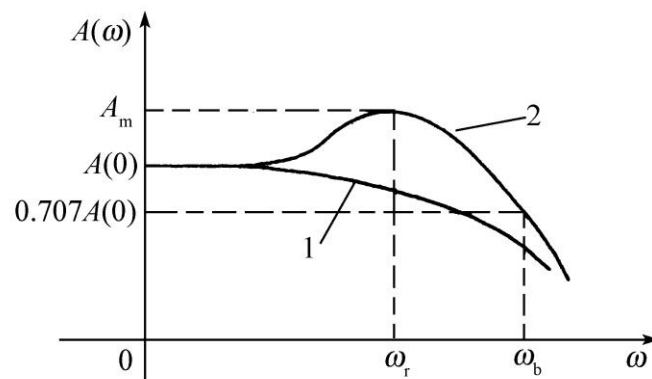
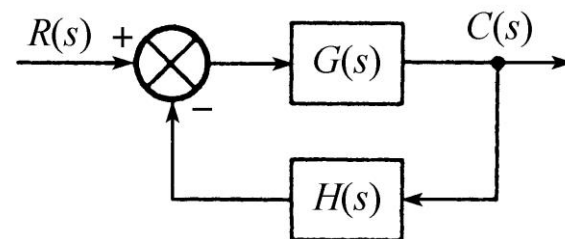
- 闭环频率特性

$$\Phi(s) = \frac{G(s)}{1 + G(s)H(s)} \Rightarrow \frac{G(j\omega)}{1 + G(j\omega)H(j\omega)}$$

$$\Phi(j\omega) = \begin{cases} \frac{1}{H(j\omega)} & |G(j\omega)H(j\omega)| \gg 1 \\ G(j\omega) & |G(j\omega)H(j\omega)| \ll 1 \end{cases}$$

- 闭环幅频特性 $A(\omega)$, 闭环相频特性 $\theta(\omega)$ 。

- 谐振: $A(\omega) > A(0)$; 谐振频率 ω_r ,
- 截止频率 (带宽) ω_b 。谐振峰值



$$M_r = \frac{A_m}{A(0)}$$

5.5.2 等M圆（考纲以外）

- 开环极坐标平面上，闭环频率特性幅值为常值的点的轨迹。
- 开环频率特性 $G(j\omega) = U + jV$
- 单位负反馈系统的闭环频率特性 $\Phi(j\omega) = \frac{G(j\omega)}{1 + G(j\omega)} = \frac{U + jV}{1 + U + jV}$
- 闭环频率特性幅值M为

$$M^2 = \frac{U^2 + V^2}{(1 + U)^2 + V^2}$$

$$M = 1 \Rightarrow \text{直线} \quad 2U + 1 = 0$$

$$M \neq 1 \Rightarrow \text{圆} \quad \left(U + \frac{M^2}{M^2 - 1}\right)^2 + V^2 = \frac{M^2}{(M^2 - 1)^2}$$

$$\text{圆心: } \left(-\frac{M^2}{M^2 - 1}, j0\right), \quad \text{半径: } \left|\frac{M}{M^2 - 1}\right|$$

